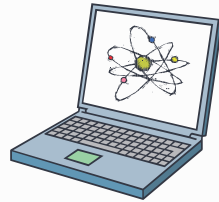


Quantenbits, -gatter, -register

Seminar über Quantencomputer

Jörg Meltzer
& Axel Steinacker



1

Inhalt

- Klassisches Modell
- Vektorielle Zustandsbeschreibung klassischer Register
- Einfache Gatter
- Was sind Qubits, Quantenregister
- Quantengatter, Quantenschaltkreise
- Quantenparallelismus
- Probleme

2

Einleitung

- Das Herz des klassischen Computers (die ALU) besteht aus einer Reihe geeignet miteinander verschalteter logischer Gatter.
- Von einem abstrakt logischen Standpunkt aus gesehen, heißt Rechnen die Manipulation von Bits, die in den Registern der ALU bzw. des Hauptspeichers zur Verfügung gehalten werden.
- Dieses Konstruktionsprinzip wiederholt sich auch bei der Realisierung eines QC mit zwei wesentlichen Variationen einerseits haben die Bits eine allgemeinere Bedeutung und andererseits erfolgt ihre Verarbeitung auf reversible Weise.

3

Klassische Betrachtungsweise

- Bit wird realisiert als skalarer Wert (Spannung/Magnetisierung in einem Speicherelement)
- Wert kann je nach Zustand als 0 oder 1 interpretiert werden.
- zweielementige Bitmenge abstrakt als $B = \{0,1\}$
- n Bits $B^n = B \times B \times \dots \times B$

4

Vektordarstellung der Bits

- $B = \{|0\rangle, |1\rangle\}$,
- $B = \left\{ \begin{pmatrix} 1 \\ 0 \end{pmatrix}, \begin{pmatrix} 0 \\ 1 \end{pmatrix} \right\}$
 $|0\rangle = \begin{pmatrix} 1 \\ 0 \end{pmatrix}, |1\rangle = \begin{pmatrix} 0 \\ 1 \end{pmatrix}$
- Wörter aus 2 Bits sind durch die Elemente des Kartesischen Produktes gegeben
- $B \times B = \{00, 01, 10, 11\}$

5

Vektordarstellung der Bits 2

Direktes Produkt zweier Vektoren:

$$\begin{pmatrix} a_1 \\ a_2 \end{pmatrix} \otimes \begin{pmatrix} b_1 \\ b_2 \end{pmatrix} \equiv \begin{pmatrix} a_1 b_1 \\ a_1 b_2 \\ a_2 b_1 \\ a_2 b_2 \end{pmatrix}$$

Direktes Produkt zweier Matrizen:

$$\begin{pmatrix} A_{11} & A_{12} \\ A_{21} & A_{22} \end{pmatrix} \otimes \begin{pmatrix} B_{11} & B_{12} \\ B_{21} & B_{22} \end{pmatrix} = \begin{pmatrix} A_{11} \begin{pmatrix} B_{11} & B_{12} \\ B_{21} & B_{22} \end{pmatrix} & A_{12} \begin{pmatrix} B_{11} & B_{12} \\ B_{21} & B_{22} \end{pmatrix} \\ A_{21} \begin{pmatrix} B_{11} & B_{12} \\ B_{21} & B_{22} \end{pmatrix} & A_{22} \begin{pmatrix} B_{11} & B_{12} \\ B_{21} & B_{22} \end{pmatrix} \end{pmatrix}$$

6

Vektordarstellung und Register

- folglich ist:
 $B \times B = \left\{ \begin{pmatrix} 1 \\ 0 \\ 0 \\ 0 \end{pmatrix}, \begin{pmatrix} 0 \\ 1 \\ 0 \\ 0 \end{pmatrix}, \begin{pmatrix} 0 \\ 0 \\ 1 \\ 0 \end{pmatrix}, \begin{pmatrix} 0 \\ 0 \\ 0 \\ 1 \end{pmatrix} \right\}$
- abgekürzt
 $|q1\rangle \otimes |q2\rangle = |q1q2\rangle$
- $B \times B = \{|0\rangle_2, |1\rangle_2, |2\rangle_2, |3\rangle_2\}$
 $|0\rangle_2 = \begin{pmatrix} 1 \\ 0 \\ 0 \\ 0 \end{pmatrix}, |1\rangle_2 = \begin{pmatrix} 0 \\ 1 \\ 0 \\ 0 \end{pmatrix}, |2\rangle_2 = \begin{pmatrix} 0 \\ 0 \\ 1 \\ 0 \end{pmatrix}, |3\rangle_2 = \begin{pmatrix} 0 \\ 0 \\ 0 \\ 1 \end{pmatrix}$
- Ein Register allgemein $|q1\rangle \otimes |q2\rangle \otimes |q3\rangle \otimes \dots \otimes |qn\rangle = |q1q2q3\dots qn\rangle$

7

NOT Gatter



NOT ist Reversibel



NOT $|0\rangle = |1\rangle$, NOT $|1\rangle = |0\rangle$ NOT = $\begin{pmatrix} 0 & 1 \\ 1 & 0 \end{pmatrix}$

8

Spezielle Reversible Gatter

Reversibles Rechnen bei Funktionen $B^n \rightarrow B^n$ mit $m < n$

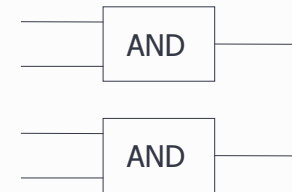
Beispiel:
$$\text{XOR} = \begin{pmatrix} 1 & 0 & 0 & 0 \\ 0 & 1 & 0 & 0 \\ 0 & 0 & 0 & 1 \\ 0 & 0 & 1 & 0 \end{pmatrix} = \text{CNOT}$$

$$\text{XOR } |q1\rangle \otimes |q2\rangle = |q1\rangle \otimes |q1+q2\rangle, q_i \in \{0,1\}$$

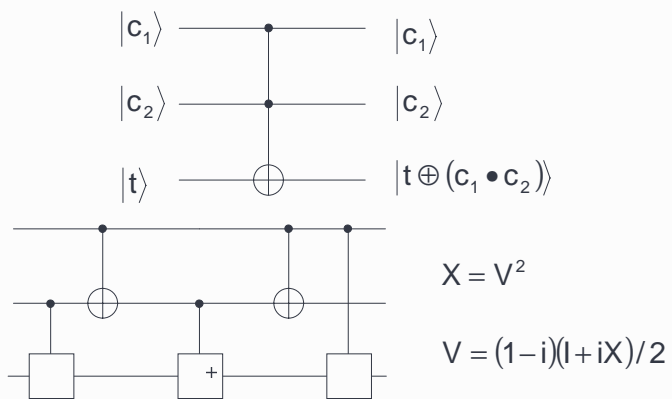
$$\text{XOR} \begin{pmatrix} 1 \\ 0 \\ 0 \\ 0 \end{pmatrix} = \begin{pmatrix} 1 \\ 0 \\ 0 \\ 0 \end{pmatrix}, \dots, \text{XOR} \begin{pmatrix} 0 \\ 0 \\ 0 \\ 1 \end{pmatrix} = \begin{pmatrix} 0 \\ 0 \\ 1 \\ 0 \end{pmatrix}$$

AND Gatter

AND ist Irreversibel



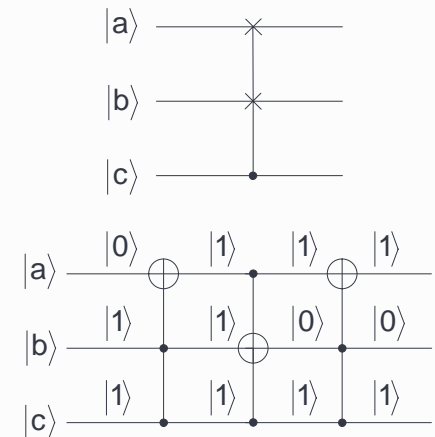
Toffoli Gatter



Fredkin Gatter

■ Kontrolliertes Bit-Swapping-Gatter

a	b	c	a	b	c
0	0	0	0	0	0
0	0	1	0	0	1
0	1	0	0	1	0
0	1	1	1	0	1
1	0	0	1	0	0
1	0	1	0	1	1
1	1	0	1	1	0
1	1	1	1	1	1



Ion Traps

- Atom- und Kernzustände werden benutzt geladene Atome (Ionen) werden isoliert, indem sie in elektromagnetischen Traps gefangen gehalten werden.
- Die Atome werden auf eine Energie abgekühlt, so daß ihre kinetische Energie viel geringer ist als ihre Spinenergie
- mit Hilfe von monochromatischem Licht können Spinzustände geändert werden
- Dieser Spin ist das Quantenmechanische Objekt in dem wir den quantenmechanischen Zustand speichern.

13

Qubits???

- Bei der Messung nimmt der Spin des zugrunde liegenden Quantenmechanischen Objekts die Werte

$$|\uparrow\rangle = |0\rangle \text{ oder } |\downarrow\rangle = |1\rangle$$

- Unbeobachtet ist er aber eine Überlagerung der beiden Zustände
- $|\bar{\cdot}\rangle = \frac{1}{\sqrt{2}}(|\downarrow\rangle + |\uparrow\rangle)$

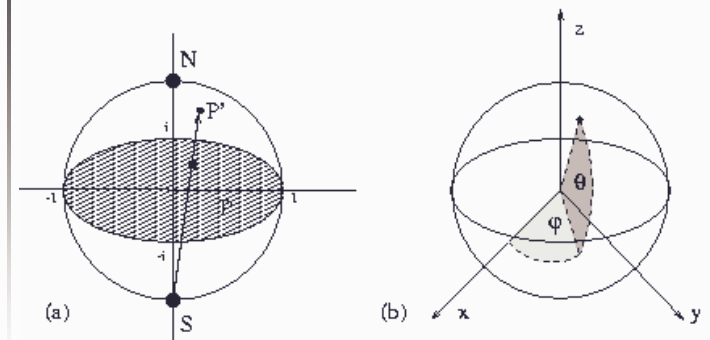
14

Qubits & QRegister

- Einzelnes Qubit allgemein: $|\psi\rangle = \alpha|\downarrow\rangle + \beta|\uparrow\rangle$
 - Normierung: $|\alpha|^2 + |\beta|^2 = 1$
 - Vektordarstellung: $|\psi\rangle = \begin{pmatrix} \alpha \\ \beta \end{pmatrix}$
 - Quantenregister: Direktes Produkt mehrerer Qubits
- $$|\psi_1 \psi_2 \psi_3 \dots \psi_n\rangle \equiv |\psi_1\rangle \otimes |\psi_2\rangle \otimes \dots \otimes |\psi_n\rangle \in H_n$$
- Wichtig: $\dim(H_n) = 2^n$
 - Klassische Register $\dim(Z_2^n) = n$

15

Riemann & Bloch Sphäre



16

Merkmale von Qregistern

- Die Anzahl von Basis Zuständen und der Superpositionen wächst exponentiell mit der Anzahl der Qubits. Schon für $n = 200$ ist die Gesamtanzahl von Zuständen einer Basis größer als die geschätzte Anzahl von Atomen im Universum.
- Trotz der exponentiellen Größe der Basiszustände läßt sich ein QRegister in linearer Zeit von einem zum anderen Zustand umwandeln.

17

Quanten Gatter

- Quantengatter implementieren unitäre Operatoren
- Werden dargestellt als unitäre Matrix mit 2^n Einträgen. (n Ein/Ausgänge)
- Die Anzahl von Ein- und Ausgängen ist wegen der Reversibilität mindestens gleichgroß
- So wie klassische Gatter können Quantengatter durch Wahrheitstabellen beschrieben werden. Somit können wir die Ausgabe für alle möglichen Eingaben bestimmen
- Ein wichtiger Unterschied zwischen dem Klassischen- und Quantenrechnen ist, das für beliebige n die Anzahl der n Eingang-/Ausgang-Quantengatter nicht zählbar ist.
- Es drängt sich die Frage auf, ob solch große unitäre Matrizen in mehrere kleinere, besser zu handhabende, transformiert werden können.

18

Kohärenzgatter

- Kohärenzgatter = \sqrt{NOT}

$$|\uparrow\rangle \xrightarrow{\sqrt{NOT}} |\bar{\cdot}\rangle$$

- Überführt das Bit in ein Quantenbit (kohärenter Quantenzustand)
- allg. Quantenregister nimmt alle 2^n Zustände an

19

Phasenschieber

$$P = \begin{pmatrix} 1 & 0 \\ 0 & \varepsilon \end{pmatrix} \quad |\varepsilon|^2 = 1$$

- Im Falle $\varepsilon = 1$ bleibt die Phase gleich
- Im Falle $\varepsilon = -1$ erfolgt eine 180 Drehung
- Universelles 2-Qubit Gatter

$$A \equiv \begin{pmatrix} 1 & 0 & 0 & 0 \\ 0 & 1 & 0 & 0 \\ 0 & 0 & e^{i\alpha \cos \theta} & -ie^{i(\alpha-\phi)} \sin \theta \\ 0 & 0 & -ie^{i(\alpha+\phi)} \sin \theta & e^{i\alpha \cos \theta} \end{pmatrix}$$

- ist *universell*, falls α, ϕ, θ irrationale Vielfache von sich und π sind.

20

3d-Qubit Zustandsraum

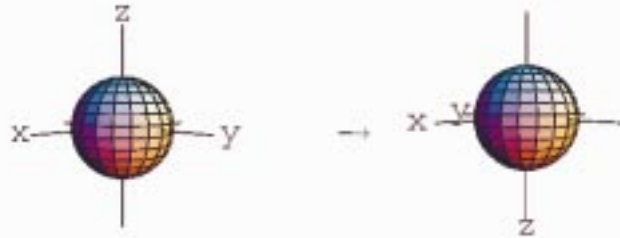


Abbildung 3: Bewegung eines quantenmechanischen Spins. Bsp. 1: Rotation um x -Achse mit Winkel 180° . Diese vertauscht Nord- und Südpol und entspricht auf B einer Negation.

21

Quantenschaltkreise

- Ein Quanten-Schaltkreis ist eine „Ansammlung“ von Quantengattern, die jeweils über physische Qubits oder über Felder interagieren.
- Für irgendein Quantengatter C mit den Eingangsvariablen x_1, \dots, x_n und den Ausgängen y_1, \dots, y_m $m \geq n$, setzen wir zu jedem Eingang $x \in \{0,1\}^n$ die mögliche Verteilung zu p_x über $\{0,1\}^m$.
- Für beliebige Eingaben x hat der finale Quantenzustand v die Form

$$v = \sum_{y \in \{0,1\}^m} \alpha_y |y\rangle,$$
 α_y ist die Amplitude, die man durch die Projektion von v erhält, wenn der Ausgang auf y gesetzt ist.
 $p_{i_x}(y) = |\alpha_y|^2$ ist die zugehörige Wahrscheinlichkeit und
 $\{p_{i_x} \mid x \in \{0,1\}^n\}$ ist die von C erzeugte Verteilung.

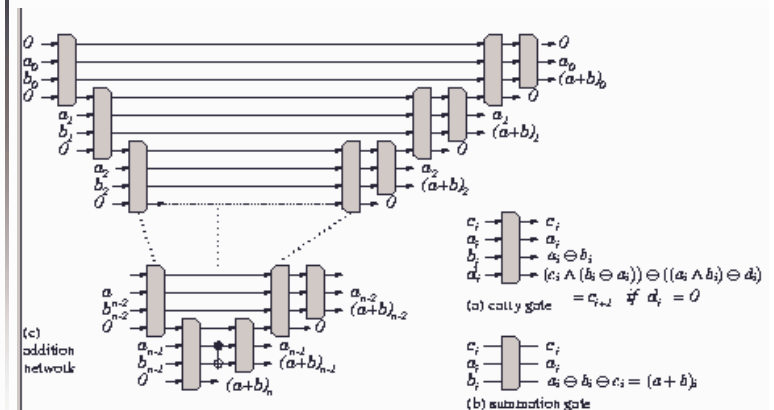
22

Arithmetische Schaltkreise

- Die zwei grundlegendsten Probleme sind das Design von Additionswerken $(a,b) \rightarrow (a,a+b)$ und Modulo-Addition $(a,b) \rightarrow (a, (a+b) \bmod N)$ von n -bit Zahlen a und b mit $N = 2^n$.
- Mit einem einfachen Carry Gatter und einem Summationsgatter lässt sich ein Additionswerk designen.
- 1. Phase
 - alle carry Bits werden unter Verwendung der n Carry Gatter berechnet
- 2. Phase
 - speichern $a_{n-1} \oplus b_{n-1}$ in b_{n-1} mittels XOR Gatter
 - alle restlichen $(a+b)_i$ bit berechnen und alle carry bits auf 0 setzen für alle $i = n-2, \dots, 0$
- Anordnungsumkehrung ergibt äquivalentes Subtraktionswerk.

23

Additionsnetzwerk



24

Quantenparallelismus

- Parallelismus ist die physikalische Grundlage des Funktionsprinzips eines Quantencomputers.
- Jedes mögliche Ergebnis muss in irgendeiner Art und Weise bereits in diesem verschränkten Zustand enthalten sein.
- Wichtig: Verschränkung muss erhalten bleiben. d.h. Qregister muss in Superpositionszustand sein. keine Messung während der Rechnung.
- Problem: Handhabung des berechneten Resultats
Messung reduziert Informationsgehalt auf die Eigenzustände

25

Quantenparallelismus 2

- Lösung: Verschränkung mehrerer Qubits
- Exponentielle Zunahme des Informationsgehalts
- Damit sind alle Endzustände des Problems bereits im Quantensystem vorhanden
- Klassische Computer kann nur einen Zustand in einem Zeitpunkt annehmen (das Problem nur seriell bearbeiten)
- Herausforderung: Steuerung des Systems ohne zwischenzeitlichen Eingriff.
- Fazit: Der einzige Vorteil von Quantencomputer liegt in der Ausnutzung der quasiparallelen Verarbeitung von Informationen durch den Quantenparallelismus

26

Physikalische Grenzen

- Register nicht fehlerfrei realisierbar: Zeitpropagation *nicht* völlig kohärent.
- Gatter nicht perfekt realisierbar:
- Oft nur näherungsweise Umsetzung möglich
- Unterschied zu klassischen Schaltungen:
 - In klassischen Schaltungen korrigiert rücktreibender Effekt Abweichungen von den 0,1 - Zuständen.
 - Quantenmechanisch aufgrund der gewünschten Unitarität und Nutzen von Überlagerungen so nicht möglich!
- Ein n-qubit Register scheint in der Lage zu sein, exponentiell mehr Informationen als ein klassisches n-bit Register zu speichern. Wegen der Fehlertoleranz ist die maximale Kapazität beschränkt (Holevo-Theorem)

27

Fehlerkorrektur

Für ein klassisches Bit:

3-fache Redundanz korrigiert bel. Fehler an einem Bit.

Quantenmechanisch:

für ein Qubit mindestens 5-fache Redundanz nötig.

Beispiel (DiVincenzo):

$$\begin{aligned} |0\rangle_L &= |00000\rangle + |11000\rangle + |01100\rangle + |00110\rangle + |00011\rangle + |10001\rangle \\ &\quad - |10100\rangle - |01010\rangle - |00101\rangle - |10010\rangle - |01001\rangle \\ &\quad - |11110\rangle - |01111\rangle - |10111\rangle - |11011\rangle - |11101\rangle \\ |1\rangle_L &= |11111\rangle + \dots \end{aligned}$$

28

Fazit

- Quantenregister spannen hochdimensionale Hilberträume auf
- Quantengatter stellen ein effektives Konzept dar
- Bereits realisiert: universelle 2-Bit Gatter.
- Fehlerfreie Quantenregister und -gatter physikalisch nicht realisierbar, Fehlerkorrektur jedoch möglich
- -> Quantencomputer *prinzipiell* realisierbar

29

Ende

Vielen Dank
für ihre Aufmerksamkeit

30

Quellen

- Textbuch von J. Gruska. Quantum Computing. McGraw-Hill, 1999.
- Die physikalische Realisierung von Quantencomputern (Christina Hölzer, TU-Darmstadt)
- Quantenregister & Quantengatter (Oliver Schulz)
fuj.physik.uni-dortmund.de/~suter/Seminare/QC_Seminar_SS00/QuantenGatter.pdf
- www.informatik.uni-leipzig.de/~der/Vorlesungen/register.gatter.ps

31